

فیلتر خطی برای ادامه فراسو و فروسو به کمک تبدیل موجک و کاربرد آن در پردازش داده‌های مغناطیسی

احمد امینی^۱، یاسر فاضل بیدگلی^۲ و حسن حاجی‌حسینی رکن‌آبادی^۳

^۱ دانشجوی کارشناسی ارشد ژئوفیزیک، گروه فیزیک زمین، مؤسسه ژئوفیزیک، دانشگاه تهران، ایران

^۲ دانشجوی کارشناسی ارشد ژئوفیزیک، گروه فیزیک زمین، مؤسسه ژئوفیزیک، دانشگاه تهران، ایران

^۳ دانشجوی کارشناسی ارشد ژئوفیزیک، گروه فیزیک زمین، مؤسسه ژئوفیزیک، دانشگاه تهران، ایران

(دریافت: ۸۵/۴/۳، پذیرش نهایی: ۸۸/۲/۲۲)

چکیده

تبدیل‌های موجک عرصه جدیدی برای پردازش داده‌های مغناطیسی فراهم می‌آورند. این تبدیل‌ها، اطلاعات حاصل از وابستگی فضایی عدد موج‌ها را حفظ می‌کنند و به‌این‌صورت می‌توان به کمک ضرایب موجک، فیلترهای متغیر با فضا را طراحی کرد. در این بررسی، به کمک تبدیل موجک پیوسته، فیلتر خطی یک‌بعدی و دو‌بعدی متقاضی شعاعی با پاسخ‌های عدد موجی وابسته به فضای ساخته می‌شود. یکی از کاربردهای این فیلتر استفاده بهمنزله عملگر ادامه فراسو و فروسو است. بسیاری از فیلترها برای استفاده در حوزه فضایی یا عدد موجی، غیر کاربردی هستند؛ فیلتر موجک، چارچوب قوی و مؤثر جدیدی را برای بهمود این گونه فیلترها فراهم می‌آورد. مشکلات موجود ناشی از وجود نویه که به‌شدت ادامه فروسو را تحت تاثیر قرار می‌دهد، با این فیلتر کاهش می‌یابد. در انتها این فیلتر با دیگر روش‌های متدالوبل برای ادامه فراسو و فروسو مقایسه می‌شود.

واژه‌های کلیدی: فیلتر خطی، ادامه فراسو و فروسو، داده‌های مغناطیسی، تبدیل موجک پیوسته، عدد موج

Linear filter for upward- down ward continuation by using wavelet transform and its application in magnetic data processing

Amini, A.¹, Fazel Bidgoli, Y.² and Rokn Abadi, H. H. H.³

¹ M. Sc. Student of Geophysics, Earth Physics Department, Institute of Geophysics, University of Tehran, Iran

² M. Sc. Student of Geophysics, Earth Physics Department, Institute of Geophysics, University of Tehran, Iran

³ M. Sc. Student of Geophysics, Earth Physics Department, Institute of Geophysics, University of Tehran, Iran

(Received: 24 June 2006 , Accepted: 12 May 2009)

Abstract

Linear filters are used for a wide range of magnetic science including noise attenuation, spatial derivatives, upward and downward continuation and reduction to the pole. The majority of these filters are spatially-invariant, meaning that the filter has a constant wave number response over the whole signal. In contrast, many signals which encountered real problems such as magnetic signals, typically exhibit a spatially-varying wave number content which motivates us to design filters with spatially-varying wave number responses. This leads to better preservation of anomaly gradients in the calculated derivatives than is possible using conventional Fourier or space domain smoothing techniques.

Fourier transform because of its stability, the simple physical interpretation of the transform coefficients and the diagonalisation of spatially invariant linear operators in the Fourier domain play an important role in magnetic processing. However, Fourier filters cannot be designed to adapt to local properties of the signal or to generate spatially-varying filters.

One of the methods for generating spatially-varying filters is based on the continuous wavelet transform (CWT) which provides new powerful tools in magnetic data processing. The wavelet transform is ideal for analysing signals such as magnetic signals that contain short duration, transient features. Wavelet techniques can be used to provide solutions to problems that are difficult or impossible to solve using conventional global techniques such as Fourier-based methods. The wavelet transform preserves both spatial and wave number information about a signal allowing us to design a range of spatially-varying filters that act on the wavelet coefficients. This method provides robust and efficient new frameworks for designing filters that are impractical to implement using conventional space or wave number domain techniques. This method is compared with other techniques in upward-downward continuation. We demonstrate the application of spatially-varying scale filters to the problem of upward and downward continuation from a level observation surface to a new irregular-height surface. Downward continuation is the most difficult of these operations as it is highly numerically unstable and is very sensitive to high wave number noise. For comparison, conventional methods of downward continuation, such as the Taylor-series and chessboard methods are used which for stabilizing a global low-pass filter are applied to the data to attenuate any high wave number noise that may create difficulties in the continuation procedure. The wavelet implementation produces a superior result compared with conventional techniques such as Taylor-series and chessboard algorithms.

In this study, the wavelet approach combined with the exponential smoothing filter produces sharper images than either the chessboard or Taylor-series methods that are clearly evident in the case study and synthetic examples. In contrast, the Taylor-series cosine roll-off filter is designed to ensure that the downward continuation is stable over the largest continuation distance. The chessboard method should theoretically be able to behave like the wavelet method by adjusting the amount of smoothing applied to each downward continuation slice. However, the sliding-rule filter does not appear to be as effective as the wavelet exponential filter. The large differences in the performance of each of these downward continuation methods highlight the significance in the choice of smoothing method. In addition, the wavelet exponential filter has the advantage of being locally adapted to the signal, which means that we do not need to oversmooth the signal when the local downward continuation distances are small but the chessboard method suffers from oversmoothing which is needed to prevent artifacts from continuing downward below the shallowest magnetic sources. One advantage of the wavelet and chessboard methods over the Taylor-series method is simplicity to automatically generate the parameters needed to design the smoothing filters for the wavelet and chessboard methods. In contrast, the Taylor-series method requires some trial-and-error intervention by the user. With a careful choice of smoothing parameters, the Taylor-series method can be designed to perform equally as well as the wavelet method. However, the choice of these parameters is often difficult when the downward continuation distances are large.

Key words: Linear filter, Upward-downward continuation, Magnetic data, Wavelet transform, Wave number

۱ مقدمه

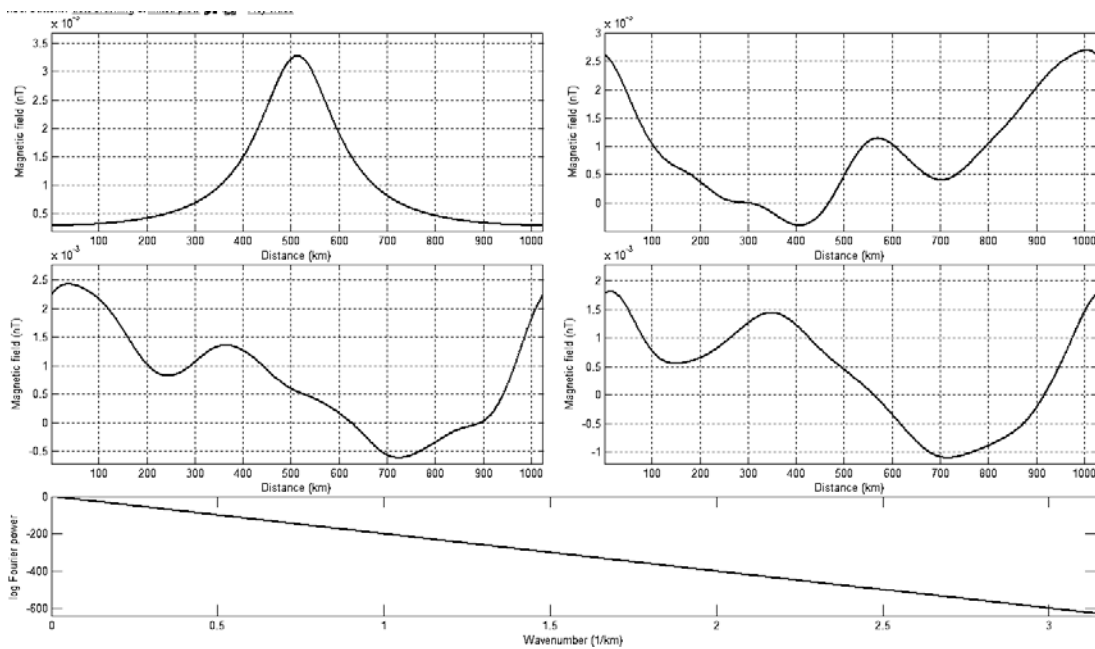
فیلترهای خطی در محدوده‌های وسیع از فنون مغناطیسی شامل تضعیف نویه، مشتقات فضایی، ادامه فراسو و فروسو و تصحیح به قطب استفاده می‌شوند. ویژگی خاص این فیلترها، تغییرناپذیری فضایی آنها (پاسخ عدد موجی ثابت روی تمام سیگنال) است. اما داده‌های مغناطیسی عموماً محتوای عدد موجی متغیر با فضا را نشان می‌دهند که لازمه پردازش دقیق‌تر آنها، طراحی فیلترهای با پاسخ‌های عدد موجی متغیر با فضا است. این فیلترها خود را با ویژگی‌های محلی سیگنال، به جای ویژگی‌های میانگین تمام مجموعه داده‌ها، وفق می‌دهند. فن‌های همامیخت فوریه‌ای متداول را نمی‌توان بر فیلترهای متغیر با فضا اعمال کرد. در اینجا از تبدیل موجک پیوسته (Continuous Wavelet Transform, CWT) برای طراحی فیلتر ادامه فراسوی متغیر با فضا استفاده می‌شود. چندین روش برای محاسبه میدان‌های مغناطیسی روی سطح ارتفاعی متغیر با داشتن میدان اندازه‌گیری شده روی یک سطح ارتفاعی ثابت موجود است. در ساده‌ترین حالت، یک فیلتر متغیر با فضا به‌طور مستقیم روی سیگنال اعمال می‌شود. این روش، بار محاسباتی سنگینی را به همراه دارد و اغلب به‌طور ضعیف عمل می‌کند. روش‌های دیگر شامل تقریب سری‌های تیلور (کردل و گراج، ۱۹۸۵؛ پیلکینگتون و رست، ۱۹۹۲)، روش چسبورد (chessboard) (کردل، ۱۹۸۵؛ پترسون و همکاران، ۱۹۹۰) و روش منبع معادل (بهاتچاریا و چان، ۱۹۷۷) است. هدف این مقاله نشان دادن این است که روش‌های پردازش وقی‌یافته محلی حاصل از تبدیل موجک، در مقایسه با ساختارهای فوریه‌ای و حوزه فضایی، الگوریتم‌های مؤثر و پایدارتری برای پردازش داده‌های مغناطیسی فراهم می‌آورند.

۲ نتایج و بحث

۱-۲ تبدیل موجک

تبدیل‌ها نقشی اساسی در بررسی و تحلیل بسیاری از سیگنال‌ها دارند. هدف یک تبدیل، نمایش سیگنال داده شده به کمک مجموعه‌ای از توابع جدید، تهیه بینشی جدید در مورد فرایند فیزیکی تولید‌کننده آن سیگنال و یا تهیه نمایشی ساده‌تر و پرمفهوم‌تر برای پردازش سیگنال است. یکی از تبدیل‌های مهم، تبدیل‌های خطی‌اند که در آنها سیگنال به صورت ترکیب خطی از توابع جدید نمایش داده می‌شود.

تبدیل فوریه، ترکیبی خطی از توابع نمایی مخلوط سینوسی و کسینوسی با عدد موج و فاز متغیر را برای نمایش سیگنال مورد استفاده قرار می‌دهد. هر تبدیل فوریه متناظر با دامنه یک نمای مخلوط از یک عدد موج ویژه است و بنابراین به‌متزله اطلاعات حاصل از مقدار آن عدد موج موجود در سیگنال در نظر گرفته می‌شود. هرچند تبدیل فوریه دارای فواید بسیاری است اما برای بخش عظیمی از سیگنال‌ها، نقایص اساسی بسیاری دارد. در عمل این تبدیل نمی‌تواند بخش‌های یک سیگنال گذرا را که زمان دوام بسیار کوتاه دارد، به طور مؤثر نمایش دهد؛ علت آن وجود توابع نمایی مخلوط در تبدیل است که هیچ تمرکزی در زمان ندارند. تفسیر محل عوارض به کمک ضرایب تبدیل فوریه مشکل است (کوهن، ۱۹۸۹). برای مثال در شکل ۱، چهار برداشت متفاوت میدان‌های مغناطیسی حاصل از بی‌هنجاری‌های مغناطیسی گوناگون طوری انتخاب شده‌اند که طیف توانی یکسانی داشته باشند. مشاهده می‌شود که با توجه به آنکه اندازه میدان‌ها در حوزه فوریه یکسان است، در حوزه مکانی می‌تواند کاملاً متفاوت باشد. بنابراین تبدیل فوریه جواب یکتایی برای بسیاری از مسائل نمی‌دهد.



شکل ۱. نمونه‌ای از اختلافات در تفسیر تمرکز عوارض از ضرایب فوریه. چهار پنل فوق سیگنال‌های مغناطیسی مختلف با طیف توانی فوریه‌ای مشابه (پنل پایینی) را نشان می‌دهند.

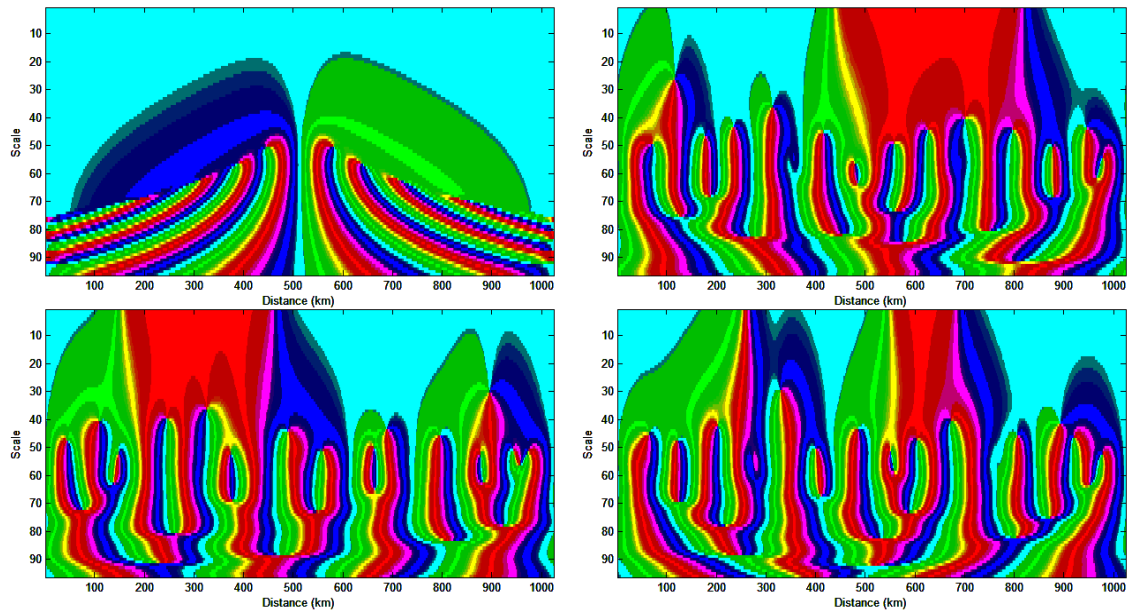
موجک کاملاً از یکدیگر متمایزند. به این دلیل که موجک‌ها در زمان متمرکز می‌شوند، در نتیجه روشهای موجک برای تحلیل سیگنال‌های دارای عوارض گذرا که با روشهای فوریه‌ای معمول با مشکل مواجه می‌شوند، می‌توانند بسیار مناسب باشند.

تبديل موجک پیوسته (CWT) در حوزه پتانسیل، تجزیه‌ای مکان- عدد موجی است که یک تابع حوزه مکانی را به نمایش حوزه مکان مقیاس منتقل می‌کند:

$$c(x,s) = T(x) * \psi^* \left(\frac{x}{s} \right) \quad (1)$$

$T(x)$ سیگنال اندازه‌گیری شده، $\psi(x)$ موجک تحلیل کننده، $c(x,s)$ آرایه دوپارامتری از ضرایب تبدیل موجک و s پارامتر مقیاس است. مفهوم مقیاس به طور واضح با عدد موج مرتبط است. مقیاس‌های کوچک به عوارض عمق کم، عدد موج بزرگ و متناظراً مقیاس‌های بزرگ به عوارض عمق زیاد و عدد موج کوچک مرتبط هستند.

توابع موجک با بسط، فشردگی و انتقال یک شکل پنجره‌ای خاص معروف به تابع موجک مادر در زمان یا مکان تولید می‌شوند. برای تحلیل عوارض عدد موج کم و زمان دوام بلند در سیگنال، موجک به یک مقیاس پهن بسط داده و برای تحلیل عوارض عدد موج زیاد و زمان دوام کوتاه در سیگنال، موجک در یک مقیاس باریک فشرده می‌شود. این توانمندی در تغییر مقیاس مشاهده‌ای برای بررسی عوارض مقیاس مختلف در سیگنال، مشخصه‌ای از تحلیل موجک به حساب می‌آید. تبدیل موجک یک سیگنال به پیدا کردن ترکیبی خطی از توابع موجک برای نمایش سیگنال می‌پردازد. وزن‌های این ترکیب خطی، ضرایب موجک نامیده می‌شوند. در شکل ۲، تبدیل فوریه سیگنال‌های مغناطیسی نشان داده شده در چهار پنل بالایی شکل ۱ آورده شده است. مشاهده می‌شود که با وجود آنکه این چهار سیگنال در حوزه فوریه قابل شناسایی نبودند (همگی طیف توانی فوریه‌ای مشابه پنل پایینی شکل ۱) را نشان می‌دهند، در حوزه



شکل ۲. تبدیل موجک سیگنال‌های مغناطیسی شکل ۱. با وجود اینکه این سیگنال‌ها طیف‌های فوریه یکسان دارند (پل پایینی شکل ۱)، طیف‌های موجک آنها از یکدیگر کاملاً مجزا هستند. (توجه: در تبدیل موجک بر خلاف تبدیل Short Time Fourier Transform, STFT، عدد موج نداریم (هورتالوپز و همکاران، ۲۰۰۰) در عوض مفهوم مقیاس (توضیح در متن) را داریم. رابطه مقیاس و عدد موج این است که مقیاس‌های کوچک متناظر با عدد موج بزرگ و مقیاس‌های بزرگ متناظر با عدد موج کوچک هستند. (بنابراین تبدیل موجک سیگنال‌های مکانی شکل ۱، در هر مورد، صفحه مقیاس خواهد بود).

سیگنال‌های هموار، موجکی که دارای شکل هموارتری باشد، مناسب‌تر است تا از این راه تمرکز عدد موجی خوبی داشته باشد. بر عکس، سیگنال‌هایی که شامل ناپیوستگی‌هایی باشند، با موجک‌هایی با تمرکز فضایی خوب، بهتر تحلیل می‌شوند تا به دقت، تغییرات سریع در سیگنال را به تصویر بکشند. دو خانواده از موجک‌های مورد استفاده رایج در زیر توصیف شده‌اند.

موجک‌های مشتق گاووسی (Derivative Of Gaussian) (DOG) از مشتقات فضایی گوناگون شکل موج گاووسی ساخته می‌شوند. در دو بعد، موجک‌های DOG به صورت جملاتی از فاصله شعاعی ($r = \sqrt{x^2 + y^2}$) و عدموجی شعاعی ($k_r = \sqrt{k_x^2 + k_y^2}$) به صورت زیر بیان می‌شوند:

$$\Psi_0(r) = \frac{d^m}{dr^m} \left(e^{-r^2/2} \right),$$

$$\Psi_0(k_r) = (ik_r)^m e^{-ik_r/2} \quad (4)$$

در معادله (۱)، CWT با همامیخت تابع موجک و سیگنال روی محدوده‌ای از مقیاس‌های به دقت انتخاب شده محاسبه می‌شود. در عمل، برای سادگی محاسبه تبدیل موجک، معادله (۱) به حوزه فوریه برده می‌شود:

$$C(k, s) = T^{FT}(k) \Psi^*(sk) \quad (2)$$

که C ، TFT و Ψ به ترتیب تبدیل‌های فوریه C و Ψ هستند. به همین صورت برای سیگنال‌های دو بعدی $T(x, y)$ تبدیل موجک در حوزه فوریه به صورت:

$$C(k_x, k_y, s) = T^{FT}(k_x, k_y) \Psi^*(sk_x, sk_y) \quad (3)$$

نوشته می‌شود که k_x و k_y به ترتیب عدد موج‌های متناظر با پارامترهای فضایی X و Y هستند.

انتخاب موجک در هر مسئله، بستگی به ماهیت و کاربرد ویژه موجک در آن مسئله دارد. به طور کلی برای

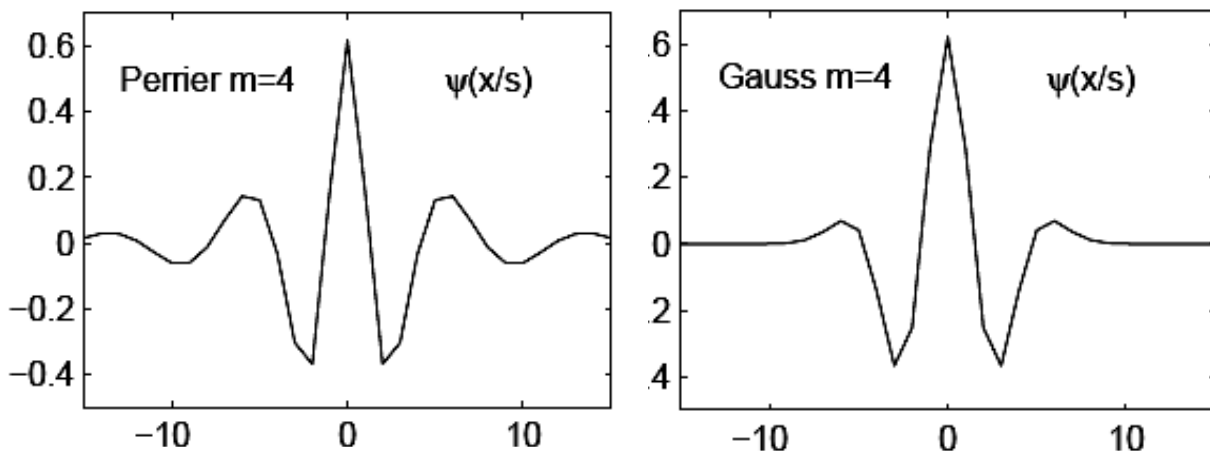
توابع موجک پریئر (Perrier wavelet) در حوزه عدد موجی به شکل:

$$\Psi_0(k_r) = e^{-\frac{1}{2} \left(k_r^2 + \frac{1}{k_r^{2m}} \right)} \quad (5)$$

بیان می‌شوند اما دارای بیان ساده‌ای در حوزه فضایی نیستند. خانواده موجک‌های پریئر دارای توزیع عدد موجی با شبیه بزرگ هستند که در مقایسه با مرتبه m به صورت خطی است. این ویژگی برای تحلیل افت‌های نمایی عدد موجی استفاده می‌شود و چون داده‌های مغناطیسی اغلب دارای چنین طیف‌های توانی هستند، موجک‌های پریئر یک انتخاب بسیار مفید برای برآورد دقیق این طیف‌ها است (پریئر و همکاران، ۱۹۹۵).

موجک پریئر با داشتن یک پاسخ عدد موجی خاص با یک منطقه وسیع تر در سمت عدد موج‌های بزرگ‌تر از عدد موج میانی، مشکلات ذکر شده برای موجک DOG را ندارند. این امر به موجک اجازه می‌دهد تا افت نمایی را حتی در عدد موج‌های زیاد که پهنه‌ای باند موجک وسیع است، با دقت برآورد کنند. موجک پریئر مرتبه ۴ در شکل ۳ نشان داده شده است.

که مرتبه موجک، مرتبه مشتق m است. خانواده DOG موجک‌ها حقیقی‌اند و به طور بهینه هم در فضا و هم عدد موج متقارن می‌شوند. افزایش مرتبه m باعث افزایش تمرکز عدد موجی و به تناظر باعث کاهش تمرکز فضایی می‌شود. موجک‌های DOG دو بعدی، تقارن شعاعی حول $(x_0, y_0) = (0, 0)$ در حوزه فضایی و حول $(k_x, k_y) = (0, 0)$ در حوزه عدد موج را دارند. در عدد موج‌های پایین، پاسخ توابع DOG بسیار باریک است و می‌توان به دقت طیف سیگنال را حول عدد موج میانی اش برآورد کرد. اما در عدد موج‌های بزرگ، پاسخ توابع DOG بسیار پهن است و طیف سیگنال برآورد شده با طیف واقعی سیگنال در عدد موج میانی اش سازگار نیست که دلیل آن، بزرگ‌تر بودن مولفه‌های فوریه سیگنال در عدد موج‌های کمتر نسبت به عدد موج‌های بیشتر است. بنابراین وقتی سیگنال در تابع موجک ضرب می‌شود، یک سهم بسیار بزرگ‌تر برای ضرایب موجک محاسبه شده از عدد موج‌های کمتر نسبت به عدد موج‌های بیشتر به دست آمده در یک فرابرآورد توابع سیگنال حاصل می‌شود. موجک DOG مرتبه ۴ در شکل ۳ نشان داده شده است.



شکل ۳. دو موجک مورد استفاده در ادامه فراسو و فروسو. شکل راست، موجک مشتق گاوسی مرتبه ۴ و شکل چپ، موجک پریئر مرتبه ۴ است.

عمل کننده روی میدان مغناطیسی مشاهده‌ای T بیان می‌شود:

$$T_{\text{cont}}(x_m, y_n) = \sum_i \sum_j f_{m,n}(x_i, y_j) T(x_{m-i}, y_{n-j}) \quad (9)$$

که:

$$f_{m,n} = \frac{\Delta z(x_m, y_n)}{2\pi[x^2 + y^2 + \Delta z(x_m, y_n)^2]^{3/2}} \quad (10)$$

$$\& \Delta z(x_m, y_n) = z_0 - z_{\text{new}}(x_m, y_n) > 0$$

و $(x, y) T_{\text{cont}}(x, y)$ میدان مغناطیسی روی سطح جدید $(x, y) z_{\text{new}}$ است. تبدیل فوریه فیلتر $f_{m,n}(x, y)$ با:

$$f_{m,n}^{\text{FT}}(k_r) = e^{-\Delta z(x_m, y_n)k_r} \quad (11)$$

داده می‌شود. بنابراین پاسخ عدد موجی به صورت نمایی با عدد موج در نزخی متناسب با فاصله ادامه Δz , میرا می‌شود. عملگر ادامه فراسوی متغیر را می‌توان به طور سراسرت با ساختن فیلتر مقیاس مورد استفاده قرار داد. در ادامه فراسو یک پاسخ مغناطیسی جدید روی یک سطح دلخواه که بالای سطح مشاهده ارتفاع ثابت قرار دارد، به دست می‌آید. این سطح از منابع مغناطیسی دفن شده دورتر است و بنابراین داده‌های ادامه یافته به دست آمده از داده‌های اندازه‌گیری شده اصلی، هموارترند.

در روش سری‌های تیلور، میدان موردنظر روی سطح متغیر به کمک تعداد محدودی از جملات سری تیلور میدان مغناطیسی اندازه‌گیری شده به صورت:

$$T_{\text{cont}}(x, y) = \sum_{n=0}^{\infty} \frac{[\Delta z(x, y)]^n}{n!} \frac{\partial^n}{\partial z^n} T(x, y) \quad (12)$$

و یا بر حسب تبدیل فوریه به شکل:

$$T_{\text{cont}}(x, y) = \sum_{n=0}^{\infty} \frac{[\Delta z(x, y)]^n}{n!} F^{-1} [K_r^n F[T(x, y)]] \quad (13)$$

۲-۲ ادامه فراسو

عملگر ادامه در نظریه پتانسیل، مستقیماً از اتحاد سوم گرین به دست می‌آید (بلکلی، ۱۹۹۶) که با فرض نبود هیچ منبع مغناطیسی بین صفحه مشاهده اصلی و صفحه جدید، میدان مغناطیسی روی آن صفحه دلخواه با داده‌های مشاهده‌ای قابل محاسبه است. اگر صفحه جدید بالای صفحه مشاهده‌ای قرار گیرد، عملگر ادامه فراسو نامیده می‌شود. تعدادی از روش‌ها برای محاسبه مجدد میدان‌های مغناطیسی روی سطوح ارتفاع متغیر با داشتن میدان مشاهده شده روی یک سطح ارتفاع ثابت منتشر شده است که برای مقایسه با روش موجک به معرفی آنها پرداخته می‌شود.

یکی از روش‌ها، فن فیلتر خطی است. ساده‌ترین فیلتر خطی، فیلتر همایخت (convolution filter) تغییرناپذیر با فضا است. خروجی سیگنال T_f به صورت مجموع مقادیر سیگنال ورودی T ضرب‌بر تابع فیلتر f به صورت:

$$T_f(x_n) = \sum_{j=-M+1}^{M-1} f(x_j) T(x_{n-j}) \quad (6)$$

و یا در شکل ماتریسی:

$$T_f = FT \quad (7)$$

بیان می‌شود که F ماتریسی شامل ضرایب فیلتر f متمرکز شده در اطراف قطر اصلی در هر سطر از ماتریس است. شکل کلی‌تر فیلتر خطی، فیلتر متغیر با فضای f_n با مجموعه‌ای از ضرایب تعریف شده برای هر نقطه x_n در سیگنال است. در این حالت عملگر فیلتری به صورت:

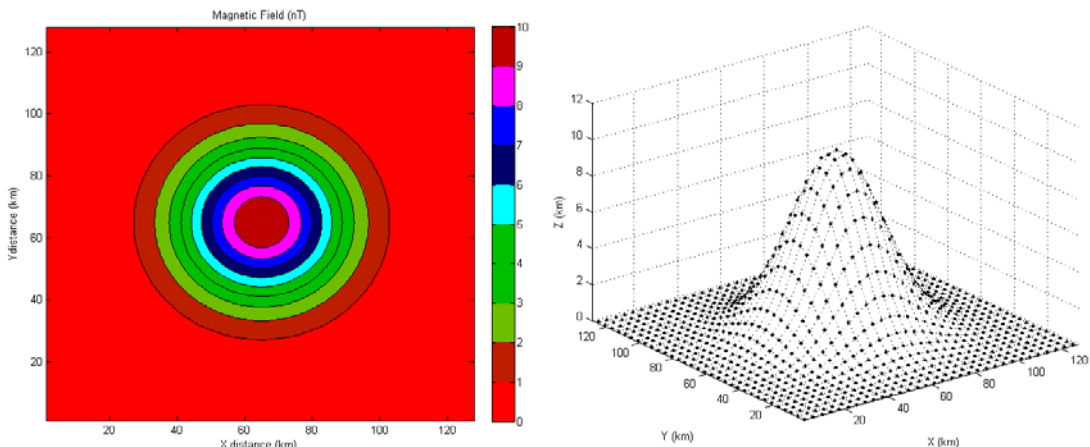
$$T_f(x_n) = \sum_{j=-M+1}^{M-1} f_n(x_j) T(x_{n-j}) \quad (8)$$

بیان می‌شود که ماتریس F شامل ضرایب f_n متمرکز شده اطراف قطر اصلی در هر سطر n است. وقی صفحه مشاهده‌ای در یک ارتفاع ثابت $z_0=z$ قرار دارد، میدان ادامه یافته به شکل یک فیلتر گسسته

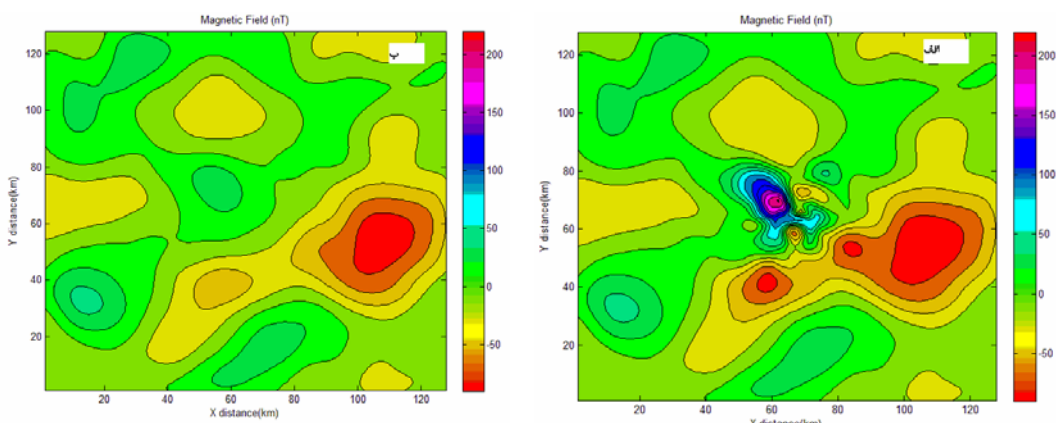
برای نشان دادن کاربرد فنون ادامه فراسو، روش های فیلتر مقیاس موجک، فیلتر متغیر با فضای چسبورده و سری های تیلور روی یک مدل مغناطیسی مصنوعی اعمال شدند. مدل شامل یک توزیع مغناطیسی شدگی دوقطبی پوشانده شده روی توپوگرافی نشان داده شده در شکل ۴ است. پاسخ مغناطیسی روی یک سطح ارتفاعی ثابت در واحد $Z_0 = 12$ واحد و روی یک سطح ارتفاعی متغیر، ۱۲ واحد بالای توپوگرافی محاسبه شدند. به ترتیب میدان مشاهده شده و نتیجه ادامه مطلوب در شکل ۵ نشان داده شده اند. اندازه هر دو شبکه، 128×128 واحد بودند.

بیان می شود که F و F^{-1} به ترتیب عملگرهای تبدیل فوریه مستقیم و معکوس آند و فیلتر K_n^r ، آمین مرتبه مشتق قائم را محاسبه می کند (کردل و همکاران، ۱۹۸۵).

روش چسبورده شامل مجموعه ای از ادامه های فراسوی ارتفاع ثابت به ارتفاع ثابت برای تولید حجمی از داده های مغناطیسی احاطه کننده سطح ادامه مطلوب (x, y, z_{new}) است. میدان موردنظر سپس روی این سطح به کمک درون یابی بین لایه های ادامه یافته ارتفاع ثابت مناسب، محاسبه می شود (کردل، ۱۹۸۵؛ پترسون و همکاران، ۱۹۹۰).



شکل ۴. توپوگرافی مورد استفاده برای تولید تصویر مغناطیسی مصنوعی به کار رفته برای مثال های ادامه فراسو ($CI=1$ nT). میدان مغناطیسی مشاهده شده، روی سطحی در یک ارتفاع ثابت ۱۲ کیلومتری اندازه گیری شد.

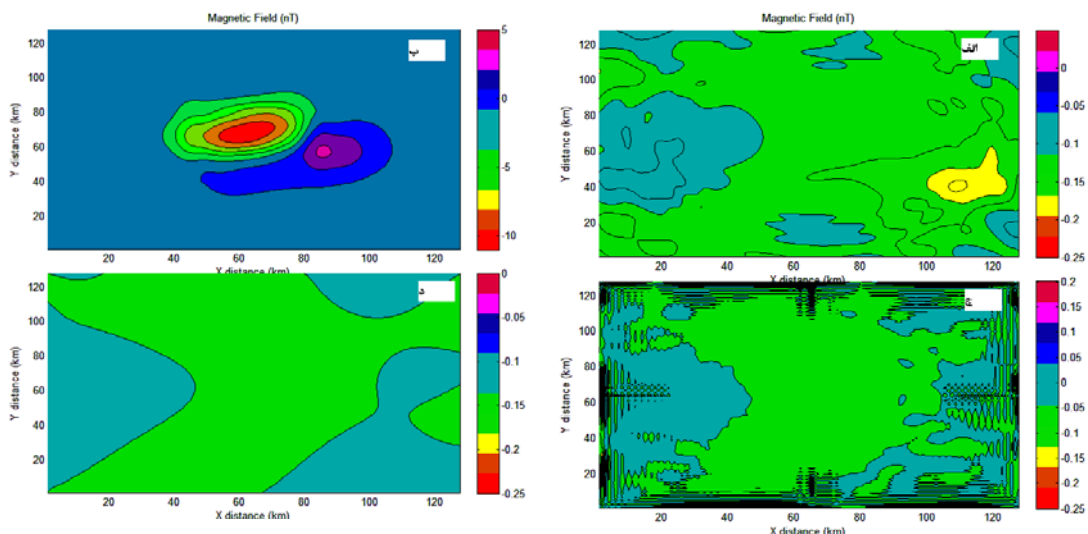


شکل ۵. داده های مغناطیسی مصنوعی مورد استفاده برای مثال های ادامه فراسو. (الف) میدان مغناطیسی محاسبه شده، روی سطحی در یک ارتفاع ثابت ۱۲ واحدی (CI=۲۰ nT)، (ب) میدان مغناطیسی محاسبه شده روی سطح ارتفاعی متغیر (x, y, z_{new}) در ارتفاع ثابت ۱۲ واحدی بالای توپوگرافی (CI=۲۰ nT).

است. اما، روش سری‌های تیلور می‌تواند با کاهش تعداد تکرار، از دو روش چسبورد و موجک مؤثرتر باشد. برای مثال، روش سری‌های تیلور می‌تواند بعد از فقط ۱۱ تکرار به خطای (Root-Mean Square, RMS) مشابه با روش موجک برسد. هیچ کدام از سه روش موجک، چسبورد و فیلتر متغیر با فضا نمی‌توانند بدون کاهش مشخصی در بازدهی، سریع‌تر عمل کنند. جواب همه این روش‌ها در مدت کمتر از ۴۰ ثانیه به کمک نرم‌افزار matlab تولید شد. نتایج نشان داده شده در شکل ۵، مفید بودن ادامه فراسو را برای تصحیحات توپوگرافی واضح می‌سازد. در داده‌های ارتفاع ثابت، بافت مغناطیسی تصویر به طور مشخص با تغییر ارتفاع بالای توپوگرافی تغییر می‌کند. در مقابل، بافت مغناطیسی در امتداد داده‌های ارتفاعی متغیر، بسیار سازگار است.

خطاهای حاصل بین ادامه فراسوی محاسبه شده برای هر روش و پاسخ صحیح، در شکل ۶ نشان داده و در جدول ۱ خلاصه شده‌اند. در روش فیلتر مقیاس موجک، از موجک پریئر ۶ و در فیلتر متغیر با فضا از فیلتر نقطه‌ای استفاده شد، به طوری که زمان محاسباتی برای فیلتر کردن تقریباً برابر با زمان مربوط به موجک بود. برای روش چسبورد، مجموعه‌ای از ۱۱ تراز ادامه فراسو و درون‌یابی مکعبی استفاده شد. نتیجه سری‌های تیلور از تکرار ۵۰ جمله‌ای معادله (۱۲ و ۱۳) تولید شد.

نتایج این مثال مصنوعی نشان می‌دهد که روش‌های فیلتر مقیاس موجک، چسبورد و سری‌های تیلور، همگی یک سیگنال ادامه‌یافته فراسوی با سطح دقیق مشابه را تولید می‌کنند. اما، به‌وضوح، فیلتر متغیر با فضا نمی‌تواند با هر کدام از این روش‌ها در حالت دوئدی رقابت کند. بازدهی محاسباتی هر سه روش، مؤثر و تقریباً برابر



شکل ۶. خطاهای در ادامه فراسوی داده‌های مصنوعی. (الف) خطای فیلتر مقیاس موجک ($CI=0.5$ nT)، (ب) فیلتر متغیر با فضا ($CI=2$ nT)، (ج) روش چسبورد ($CI=0.5$ nT) و (د) روش سری‌های تیلور ($CI=0.5$ nT).

جدول ۱. RMS و محدوده خطاهای برای مثال ادامه فراسوی مصنوعی.

محدوده خطأ (nT)	خطای RMS (nT)	روش
۰.۴۸	۰.۹۹۹	موجک
۰.۳۲	۰.۳۹	فیلتر متغیر با فضا
۰.۰۵۱	۰.۰۵۶	چسبورد
۰.۰۲۰	۰.۰۴۹	تیلور

۳-۲ ادامه فروسو

در ادامه فروسو، میدان مغناطیسی روی سطح جدیدی که زیر سطح مشاهده‌ای واقع شده و بنابراین به منع مغناطیسی قرار گرفته در زیر زمین نزدیک‌تر است، محاسبه می‌شود. بر عکس ادامه فراسو، این ادامه فیلتری بالاگذر و نتیجه داده‌های ادامه یافته نسبت به داده‌های اندازه‌گیری شده اصلی ناهموارتر است. پاسخ عدد موجی فیلتر ادامه فروسوی سطح متغیر با فیلتر داده شده در معادلات (۱۱-۹) برای ادامه فراسو یکسان است؛ اما در این حالت فاصله ادامه Δz عددی منفی است. به این معنا که دامنه فیلتر به طور نمایی با عدد موج افزایش می‌باید که باعث می‌شود عملکر ادامه فروسو ناپایدار شود. در داده‌های واقعی وجود نوفه و خطاهای عددی در پردازش، مولفه‌های عدد موج زیاد را در سیگنال اصلی تولید می‌کنند. این مولفه‌ها شبیه منع‌های مغناطیسی کم‌عمق رفتار می‌کنند و به طور نمایی با ادامه فروسو تقویت می‌شوند که باید قبل از اعمال عملکر ادامه با فیلترهای پایین‌گذر تضعیف شوند. ادامه فروسوی سطح متغیر می‌تواند به کمک فیلتر مقیاس موجک، روش چسبورد و سری‌های تیلور توصیف شده در بخش ۲-۲ صورت گیرد.

اعمال فیلتر مقیاس موجک به ادامه فروسو، اجازه می‌دهد تا از فیلترهای پایین‌گذر و قرقیافته با محتوای عدد موج محلی سیگنال استفاده شود. در عدد موج‌های کم، طیف دامنه محلی سیگنال با نرخ سریع‌تر از افزایش‌های دامنه فیلتر ادامه فروسو به صورت نمایی میرا می‌شود. بنابراین هیچ تفاوتی در اعمال فیلتر ادامه فروسو به سیگنال در عدد موج‌های کم وجود ندارد. در عوض، در عدد موج‌های زیاد، طیف دامنه محلی سیگنال با نرخ آهسته‌تر از افزایش در دامنه فیلتر پایین‌گذر میرا می‌شود. یعنی در سیگنال فیلتر شده حاصل، دامنه هر نوفه عدد موج بالا با افزایش عدد موج به طور نمایی افزایش خواهد یافت. برای ساخت فیلتر هموارسازی موجک، اولاً تعیین عدد

موجی که در آن این انتقال صورت می‌گیرد و ثانیاً طراحی یک فیلتر پایین‌گذر برای تضعیف مولفه‌های سیگنال در عدد موج‌های بالاتر از عدد موج انتقال نیاز است.

فیلتر پایین‌گذر انتخابی مورد استفاده در روش موجک، تمام اطلاعات در عدد موج‌های کمتر از یک عدد موج مشخص شده k_t را عبور می‌دهد و در عدد موج‌های بیشتر از آن، به طور نمایی آنها را میرا می‌سازد.

این تابع فیلتر به صورت:

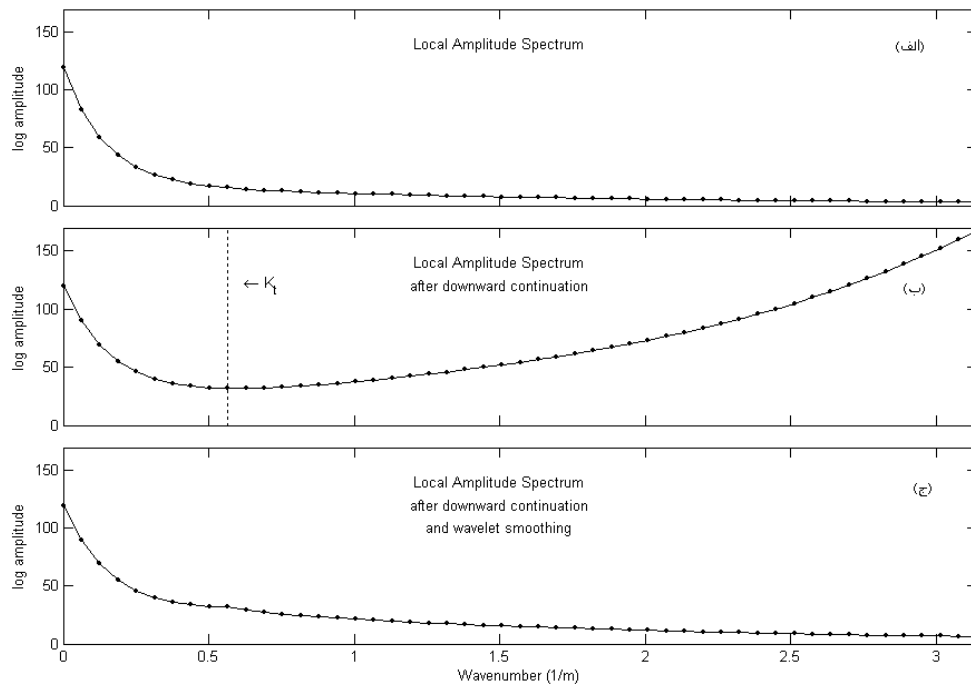
$$F_{ij}(k_r) = \begin{cases} 1 & k_r \leq k_t \\ e^{(\Delta z(x_i, y_i) + d)(k_r - k_t)} & k_r > k_t \end{cases} \quad (14)$$

انتخاب شده است. k_t عدد موج گذر است که بالاتر از آن، سیگنال میرا می‌شود و d پارامتری برای معرفی هموارسازی بیشتر یا کمتر در عدد موج‌های بالاتر و بر عکس است. کمیت Δz فاصله ادامه فروسو در نقطه (x_i, y_i) است. برای تعیین مقدار عدد موج دامنه k_t ، طیف دامنه محلی در هر نقطه از سیگنال با گرفتن گذر مربعات طیف توان محلی تقریب زده شد. مراحل کار در شکل ۷ دیده می‌شود. برآورد کردن طیف دامنه محلی هموار شده نشان داده شده در شکل (۷-الف)، ابتدا در فیلتر ادامه فروسو ضرب شد تا برآورده از طیف دامنه فیلتر شده هموار نشده (شکل ۷-ب) را تولید کند. این پایدارتر را موقع اعمال به طیف دامنه محلی تولید کند (شکل ۷-ج). هدف، پیدا کردن عدد موجی بود که سیگنال فیلتر شده تقریبی، یک کمینه باشد. این عدد موج (نشان داده شده با k_t)، در محل انتقال بین سیگنال و نوفه قرار دارد.

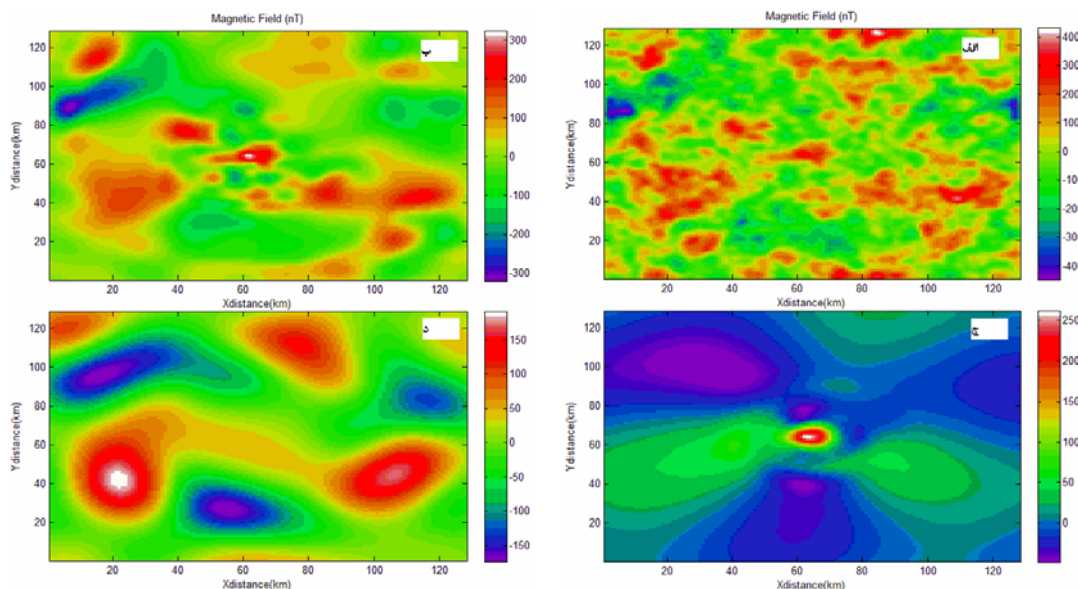
فن‌های متفاوتی که در ادامه فراسو به کار برده شد، برای ادامه فروسو نیز مورد استفاده قرار گرفت تا توانایی و ضعف این روش‌ها با هم مقایسه شود. داده‌های موجود،

فروسوی چسبورد به کمک ۱۱ مرحله ادامه یافته فروسو از سطح داده‌های اولیه تا سطح مطلوب محاسبه شد. در روش سری تیلور از ۱۰ جمله بسط تیلور استفاده شد. نتایج در شکل ۸ همراه با داده‌های صحیح نشان داده شده است.

به یک سطح ارتفاع ثابت دو واحد بالای توپوگرافی ادامه فروسو شدند. در روش موجک از فاکتور هموارسازی $d=1$ استفاده شد (رابطه ۱۴). برآوردهای k_t از طیف‌های دامنه محلی میانگین گیری شده روی پنجره‌های 51×51 نقطه‌ای، صورت گرفت و سپس هموارسازی شد. ادامه



شکل ۷. تعیین عدد موج دنباله k_t مورد استفاده در فیلتر هموارسازی نمایی موجک.



شکل ۸ ادامه فراسو: (الف) سیگنال صحیح، (ب) حاصل از روش موجک (خطای RMS برابر با 60 nT)، (ج) حاصل از روش چسبورد (خطای RMS برابر با 150 nT) و (د) حاصل از سری‌های تیلور (خطای RMS برابر با 95 nT).

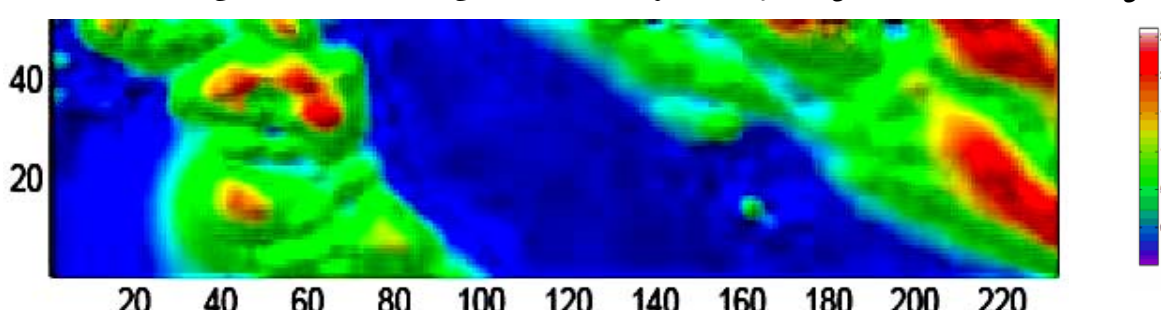
تیلور بهترین نتایج را برای این داده‌ها تولید می‌کند. نتیجه سری‌های تیلور در مقایسه با روش موجک توافق نزدیک‌تری با داده‌ها در راستای مرز فراهم می‌کند. اما بافت تصویر حاصل از سری تیلور به اندازه تصویر حاصل از روش موجک واضح نیست که علت آن فراهموار شدگی جزئی است. این موضوع در گوشه بخش جنوبی تصویر که فاصله ادامه فراسو دارای کمترین مقدار است به خوبی مشهود است. به نظر می‌رسد که در این مثال روش چسبورد بسیار ضعیف عمل می‌کند. در بخش ۲-۲ نشان داده شد که سه روش توصیف شده برای ادامه فراسو به خوبی عمل می‌کنند. تفاوت بزرگ در عملکرد هر کدام از این روش‌ها در ادامه فراسو، معنی و اهمیت انتخاب روش هموارسازی روی دقت نتیجه مورد نظر را مشخص می‌سازد.

فیلتر نمایی موجک ویژگی ورق محلی با سیگنال دارد. یعنی هنگامی که فواصل ادامه فروسوی محلی کوچک‌اند، نیازی به فراهموار کردن سیگنال وجود ندارد. این مورد در روش موجک به وضوح در بخش مرکزی مثال مصنوعی و بخش جنوبی مثال واقعی مشهود است. در مقابل، فیلتر کسینوسی سری‌های تیلور طوری طراحی شده‌اند تا در پایداری ادامه فروسو روی بزرگ‌ترین فاصله ادامه اطمینان حاصل شود. از لحاظ نظری در روش چسبورد می‌توان با تنظیم مقدار هموارسازی اعمال شده به هر قطعه ادامه فروسو، رفتاری همانند روش موجک را انتظار داشت. اما به نظر نمی‌رسد که فیلتر خطکش ریاضیاتی به همان اندازه فیلتر نمایی موجک مؤثر باشد.

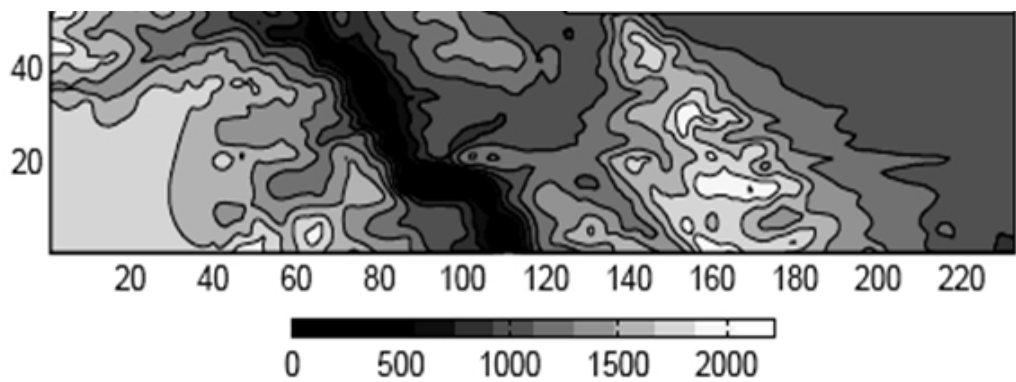
با توجه به نتایج شکل ۸، روش موجک بهوضوح، دقیق‌ترین ادامه فروسو را بین دو روش دیگر تولید می‌کند. نتیجه ادامه با موجک، به ویژه به داده صحیح در مرکز داده اصلی شبیه است. در این ناحیه فاصله ادامه فروسو، به دلیل شکل توپوگرافی، کمینه است. بهنظر می‌رسد که نتیجه سری تیلور فراهموار شده باشد. این نتیجه نشان‌دهنده گم شدن قسمتی از بافت در این روش است. روش چسبورد شامل خطاط و انحرافات جدی در مرکز شکل و همچنین بافت فراهموار شده (همانند روش سری تیلور) در باقی مانده شکل است.

۴-۲ داده‌های واقعی

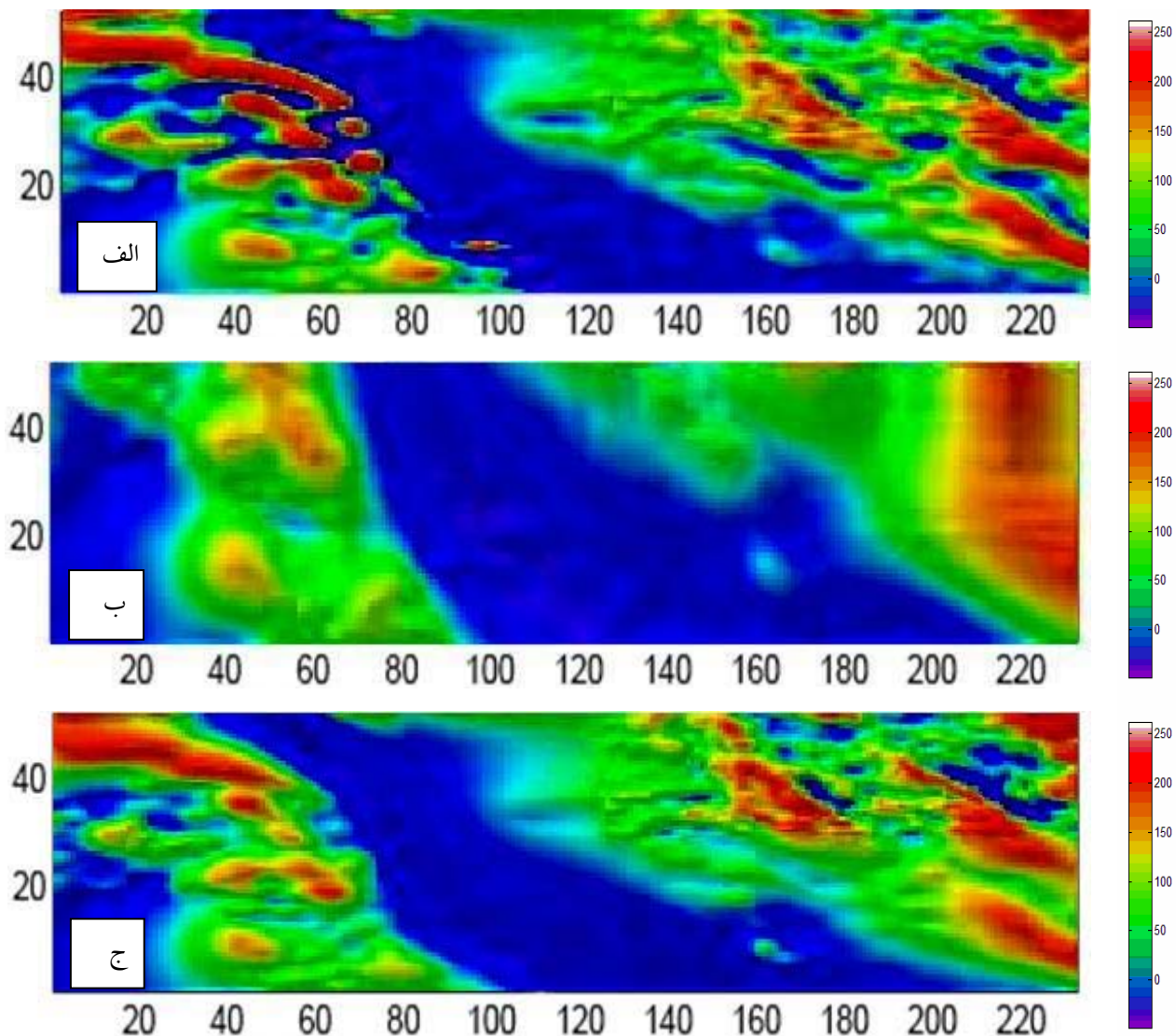
در شکل ۹ داده‌های واقعی و در شکل ۱۰ نقشه توپوگرافی منطقه نشان داده می‌شود. برداشت در یک ارتفاع ثابت ۲۴۳۸ متر خطوط پرواز در جهت شرقی غربی با فاصله بین خطوط یک کیلومتر صورت گرفته است. داده‌ها با اندازه سلولی ۲۵۰ متر شبکه‌بندی شد. به منظور بهبود توان تفکیک منطقه با ادامه فراسو، داده‌های برداشت شده در ارتفاع ثابت به ارتفاع ۳۵۰ متر بالای توپوگرافی، انتقال داده شد. در ادامه فروسوی موجک از فاکتور افروده شده $\lambda = 1$ استفاده شد. عدد موج دنباله k از برآوردهای دامنه محلی هموار شده روی پنجرهای 51×51 نقطه‌ای برآورد شد. در روش چسبورد از ۱۱ تراز ادامه و فیلتر خطکش ریاضیاتی (sliding rule) مرتبه $n=1$ و در روش سری‌های تیلور از ۲۰ تکرار استفاده شد. نتایج هر ادامه فروسو در شکل ۱۱ نشان داده شده است. روش‌های موجک و سری



شکل ۹. داده‌های مغناطیس تصحیح نشده مورد استفاده برای اعمال فیلترهای متفاوت و دارای مشخصات: اندازه سلول‌ها = ۲۵۰ متر، زاویه قسمت = ۳۰°، زاویه میل = ۳۰°. در شکل، جهت شمال به سمت بالا است. اندازه‌ها بر حسب کیلومتر است.



شکل ۱۰. توپوگرافی منطقه برداشت داده‌های مغناطیسی.



شکل ۱۱. نتایج ادامه فروسو (الف) ادامه فروسوی موجک، (ب) ادامه فروسوی چسبورد و (ج) ادامه فروسوی سری تیلور.

۳ نتیجه‌گیری

بسیاری از فیلترهای مغناطیسی رایج در حوزه فوریه طراحی و به کار گرفته می‌شوند. اما روش‌های حوزه فوریه دارای ماهیتی ذاتاً کلی نگرند و نمی‌توانند براساس ویژگی‌های محلی سیگنال تغییر یابند. یکی از روش‌های پردازشی جدید، تبدیل موجک است که می‌تواند تغییرات محلی سیگنال بر حسب عدد موج‌های متفاوت را به خوبی نشان دهد و ابزار بسیار قوی و مؤثری در پردازش و تفسیر بسیاری از داده‌هایی است که در مورد آنها روش‌های پردازش حوزه فوریه با مشکل مواجه می‌شوند.

برای نشان دادن کاربرد فنون ادامه فراسو، روش‌های فیلتر مقیاس موجک، فیلتر متغیر با فضا، چسبورده و سری‌های تیلور روی یک مدل مغناطیسی مصنوعی اعمال شدند. در روش فیلتر مقیاس موجک، از موجک پریئر ۶ و در فیلتر متغیر با فضا از فیلتر 41×41 نقطه‌ای استفاده شد. موجک پریئر با داشتن یک پاسخ عدد موجی خاص باعث می‌شود تا افت نمایی حتی در عدد موج‌های بزرگ که پهنهای باند موجک وسیع است، با دقت برآورد شود. برای روش چسبورده، مجموعه‌ای از ۱۱ تراز ادامه فراسو و درون یابی مکعبی استفاده شد. نتیجه سری‌های تیلور از تکرار ۵۰ جمله‌ای تولید شد. در زمان محاسباتی تقریباً یکسان، روش‌های فیلتر مقیاس موجک، چسبورده و سری‌های تیلور، همگی یک سیگنال ادامه یافته فراسوی با سطح دقت مشابه را تولید می‌کنند. اما فیلتر متغیر با فضا نمی‌تواند با هر کدام از این روش‌ها در حالت دو بعدی رقابت کند. در ادامه فروسو، با انتخاب فیلتر هموارسازی مناسب برای روش موجک (در اینجا از فاکتور هموارسازی $d=1$ استفاده شد)، داده‌های مغناطیسی را بهتر از روش‌های معمول می‌توان پردازش کرد. روش سری تیلور باعث فراهموار شدن و در نتیجه مفقود شدن قسمتی از بافت تصویر می‌شود. روش چسبورده برای ادامه فروسو نامناسب‌ترین روش است چون نتیجه حاصل از آن با

یک عامل بحرانی در هموارسازی موجک، اطمینان یافتن از این است که پارامترهای فیلتر هموارسازی از نقطه‌ای در سیگنال به نقطه دیگر به‌طور هموار تغییر می‌کند. این امر به کمک برآوردهای هموار شده محتوای طیفی محلی از قبیل برآوردهای صحیح و میانگین‌گیری شده فضایی مورد استفاده در اینجا می‌تواند به دست آید. یکی از مزایای روش موجک و چسبورده نسبت به روش سری‌های تیلور این است که با روش موجک امکان تولید پارامترهای مورد نیاز برای طراحی فیلترهای هموارسازی به راحتی موجود است. در عوض روش سری‌های تیلور نیاز به مقداری سعی و خطای برنامه‌نویسی دارد. انتخاب صحیح پارامترهای هموارسازی برای سری‌های تیلور برای عملی ساختن دقیق ادامه لازم و ضروری است. به نظر می‌رسد که روش موجک نسبت به روش سری‌های تیلور، خطاهای بیشتری در نزدیکی مرز داده‌ها داشته باشد. این مورد ممکن است به خاطر پیمایش ناکامل داده‌ها باشد که از برآوردهای عدد موج محلی در مجاورت لبه داده‌ها حاصل شده است.

از نظر کارایی، روش موجک در موارد ادامه فروسو که فاصله ادامه روی ناحیه بسیار متغیر و بزرگ است، به خوبی عمل می‌کند. این امر غالباً به خاطر موثر بودن فیلتر هموارسازی نمایی است. با انتخاب دقیق پارامترهای هموارسازی، سری‌های تیلور را می‌توان طوری طراحی کرد که به خوبی روش موجک عمل کند. اما انتخاب این پارامترها اغلب وقتی فواصل ادامه فروسو بزرگ‌اند، مشکل است. روش چسبورده ترکیب یافته با فیلتر خط‌کش ریاضیاتی در این مثال‌ها ضعیف عمل می‌کند. برای ادامه فراسو، روش سری‌های تیلور مؤثرتر و پربازده‌تر از روش‌های موجک یا چسبورده هستند اگرچه تفاوت آنها ممکن است در کاربردهای عملی قابل صرف‌نظر کردن باشد.

- on Earthquake Engineering.
- Paterson, N., Reford, S., and Kwan, K., 1990, Continuation of magnetic data between arbitrary surfaces : advances and applications: SEG 60th Ann. Internat. Mtg., Soc. Expl. Geophys., 666-669.
- Perrier, V., Philipovitch, T. and Basdevant, C., 1995, Wavelet spectra compared to Fourier spectra: *J. Math. Phys.* **36**, 1506–1519.
- Pilkington, M., and Roest, W., 1992, Draping aeromagnetic data in areas of rugged topography Journal of Applied Geophysics, **29**, 135–142.

سیگنال صحیح هیچ شباهتی ندارد. تحلیل عدد موج محلی بر پایه موجک می‌تواند با عملگر ادامه فروسوی ذاتاً ناپایدار و همین‌طور ادامه فراسو ترکیب شود تا روشی قوی در مقایسه با روش‌های معمول فراهم آورد. روش‌های پردازش وقایعات محلی ساخته شده براساس تبدیل موجک، برای پردازش داده‌های مغناطیسی، نسبت به ساختارهای فوریه‌ای و حوزه‌فضایی (چسبورد و تیلور) الگوریتم‌های موثر و پایدارتری فراهم می‌آورند.

توضیح: خطای جذر میانگین مربعات (RMS) برای مجموعه‌ای از N خطای به دست آمده در محاسبات شامل خطاهای x_i که $1 \leq i \leq N$ به صورت:

$$RMS = \sqrt{\frac{\sum_{i=1}^N x_i^2}{N}}$$

منابع

- Bhattacharyya, B. and Chan, K., 1977, Reduction of magnetic and gravity data on arbitrary surfaces acquired in a region of high topographic relief Geophysics, **42**, 1411–1430.
- Blakely, R., 1996, Potential Theory in Gravity and Magnetic Applications: Cambridge University Press, Cambridge.
- Cohen, L., 1989, Time-frequency distributions: a review, *Proceedings of the IEEE*, **77**(7), 941–981.
- Cordell, L., 1985, Techniques, applications and problems of analytical continuation of New Mexico aeromagnetic data between arbitrary surfaces of very high relief: International Meeting on Potential Fields in Rugged Topography, Institute of Geophysics, University of Lausanne, 96–99.
- Cordell, L. and Grauch, V., 1985, Mapping basement magnetization zones from aeromagnetic data in the San Juan basin, New Mexico in Hinze, W. J., Ed., The Utility of Regional Gravity and Magnetic Anomaly Maps Society of Exploration Geophysicists, Tulsa, 181–197.
- Huerta-Lopez, C., Shin, Y., Powers, E. J. and Roessel, J. M., 2000, Time-frequency analysis of earthquake records, 12th World Conference